

Plan potentiel

1. Espaces de modules de courbes
  - a. Motivation : étude des familles de courbes
  - b. Premier exemple : Grassmanniennes
  - c. Définition (approximative) de  $\mathcal{M}_{g,n}$
  - d. Groupes de cohomologie, classes caractéristiques
  - e. Anneau tautologique
2. Diagrammes de Feynman
  - a. Théorie de Chern-Simons perturbative & invariants de nœuds
  - b. Adaptation aux espaces de modules de courbes
  - c. Cadre algébrique commun : complexes de graphes

Références

- Kontsevich, [Feynman diagrams and low-dimensional topology](#)
- Vakil, [The moduli space of curves and its tautological ring](#)
- Vakil, [The moduli space of curves and Gromov-Witten theory](#)
- Schmitt, [The moduli space of curves](#)

① Espaces de modules de courbes

Objectif : étudier les courbes complexes, c'est-à-dire les surfaces de Riemann



Q Combien y a-t-il de courbes possibles ? Isomorphismes entre elles ?  
 Combien d'isomorphismes à isotopie près ? Combien d'isotopies ??

→ on cherche à étudier l'espace de modules

Applications : famille paramétrée de courbes

une "famille paramétrée de courbes" est un fibré :  $\begin{matrix} E \\ \pi \downarrow \\ X \end{matrix}$  tq localement  $\pi^{-1}(U) \cong U \times S_{g,m}$   
 ex trivial :  $X \times S_{g,m}$ . Est-ce qu'il y en a d'autres ?

Oui ! On peut imaginer une famille au-dessus du cercle qui fait "faire un tour" à un point marqué :



On se convainc intuitivement que ce n'est pas une famille triviale.

Problème : comment classifies / décrire plus simplement ces familles ?

→ avec un espace classifiant tq  $X \rightarrow \dots \leftarrow$  l'espace des surfaces de type  $S_{g,m}$   
 $x \mapsto \pi^{-1}(\{x\}) \cong S_{g,m}$

② Grassmannienne

Exemple plus simple, "prototype"

$(E \xrightarrow{\pi} X \text{ tq } \pi^{-1}(U) \cong \mathbb{C}^k \subset \mathbb{C}^m)$   
étendue de point      fini

$$(\mathbb{E} \xrightarrow{\pi} X \text{ tq } \pi^{-1}(U) \cong \mathbb{C}^k \subset \mathbb{C}^m)$$

↑ dépend du point     ↘ fini

exemple encore plus basique : famille de droites dans le plan ?

→ deux morceaux :  $\{D = \{y = ax\}\} \cup \{D' = \{x = ay\}\}$

$\mathbb{R}$ 
 $\mathbb{R}, \text{soit}$

⇒ on trouve un cercle :  $\mathbb{R}P^1$

En dimension supérieure :  $\text{Gr}(k, m) = \{V \subset \mathbb{C}^m \mid \dim V = k\}$

↳ on en fait une variété en choisissant des bases et en exprimant tout dans des coordonnées homogènes

à la fin :  $\text{Gr}(k, m) = U(m) / (U(k) \times U(m-k))$

$(= \underbrace{U(\mathbb{C}^m)}_{\text{agit transitivement}} / (\underbrace{U(W) \times U(W^\perp)}_{\text{stabilisateur d'un } W \text{ donné}}))$  pour  $W \subset \mathbb{C}^m$  fixé

Famille universelle :  $\mathbb{E} = \{(W, w) \mid W \in \text{Gr}(k, m), w \in W\} \xrightarrow{\pi} \text{Gr}(k, m)$

"fibré tautologique"

Étant donnée une autre famille  $\mathbb{E} \xrightarrow{\pi} X$ , on obtient  $X \rightarrow \text{Gr}(k, m)$

$x \mapsto \pi^{-1}(x)$

et réciproquement, si  $\varphi: X \rightarrow \text{Gr}(k, m)$ , alors famille

$$\begin{array}{ccc}
 E = \{(x, w) \mid x \in X, w \in \varphi(x)\} & \longrightarrow & \mathbb{E} \\
 \downarrow & \swarrow \varphi & \downarrow \\
 X & \longrightarrow & \text{Gr}(k, m)
 \end{array}$$

carré cartésien

### ③ Groupe de cohomologie, classes caractéristiques

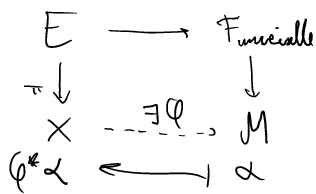
Qu'est-ce qu'un gp de cohomologie ?  $X$  : espace topologique

- degré 0 : fonction continue sur  $X$  tq si  $x$  et  $y$  sont reliés par un chemin, alors  $f(x) = f(y)$  (i.e.  $\{x, y\}$  borde un segment)
  - ⇒ "invariants" des composantes connexes par arcs de  $X$
- degré 1 :  $\{f: \text{boules}(x) \rightarrow \mathbb{Z} \mid f(x) = 0 \text{ si } x \text{ borde un disque}\}$ 
  - (en réalité il faut aussi définir  $f$  sur tous les chemins & imposer plein de relations
  - ex  $f(\bigcirc \bigcirc) = f(\bigcirc) + f(\bigcirc)$
- degré  $n$  : similaire

Bilan de courses: groupes  $H^m(X) \quad \forall m \in \mathbb{N}$

Si  $X$  est une variété compacte sans bord, on a la dualité de Poincaré:  
 $\alpha \in H^k(X) \iff$  compter combien de fois on coupe une sphère  
 dimension  $(n-k)$  transversalement  
 $\rightarrow$  on peut intersecter ces sphères pour fabriquer  $H^k \times H^l \rightarrow H^{k+l}$

Alors si  $M$  est un espace de module, un résultat sur  $H^k(M)$   
 permet de définir des **invariants de familles paramétrées**



Les éléments de  $H^k(M)$  sont appelés **classes caractéristiques**  
 pour les familles paramétrées

en  $L_1, L_2, L_3, L_4$  quatre droites génériques dans  $\mathbb{C}^3$

$\rightarrow$  combien de droites coupent les 4 ?

classe de cohomologie qui représente le lieu des droites qui coupent  $L_i \rightarrow D_i \in H^1(\mathbb{C}P^2, \mathbb{Z})$   
 on veut calculer  $D_1 D_2 D_3 D_4 \in H^4(\mathbb{C}P^2, \mathbb{Z}) \dots$  ça fait 2!

Permet de définir des invariants de familles paramétrées et les distinguer  
 entre elles

#### ④ Espaces de module de courbes

$\rightarrow$  fibré de fibres  $S_g + m$  sections disjointes

On veut maintenant classifier les fibrés dont la fibre est  $S_{g,m}$

$\rightarrow$  on fabrique un "espace"  $\mathcal{M}_{g,m}$

Problème: les courbes ont des automorphismes!

\* on oublie le cas  $(g,m) \in \{(0,0), (0,1), (0,2), (1,0)\}$

\* le résultat ne sera pas une variété: ce sera un orbifold (ou plutôt un champ DM)

ie localement une variété mod l'action des automorphismes de la courbe  
 (qui forme un groupe fini)

#### Solution on travaille en caractéristique zéro

**Thm**  $\dim \mathcal{M}_{g,m} = 3g - 3 + m$ , espace lisse connexe

(on voit le pb si  $3g+m < 3 \dots$  et  $(g,m) = (1,0)$  est aussi faux même affecté par trop)

en  $M_{0,3}$  : on peut tps se ramener par un unique iso à  $\mathbb{CP}^1 \setminus \{0, 1, \infty\}$

$\Rightarrow M_{0,3} \cong *$

$M_{0,4}$  : le 4<sup>e</sup> pt va quelque part  $\Rightarrow M_{0,4} \cong \mathbb{CP}^1 \setminus \{0, 1, \infty\}$

$M_{g,1}$  : dimension (complexe) 1  $\rightarrow$  chaque courbe elliptique est paramétrée

{ par son  $j$ -invariant  $\mathbb{C}/\langle 1, \tau \rangle$ ,  $j(\tau) = \frac{(12g_2)^3}{g_2^3 - 27g_3^2}$ ,  $\Phi'(z) = 4\Phi(z)^3 - g_2\Phi(z) - g_3$   
 $\Phi(z) = \frac{1}{z^2} + \sum_{\lambda \in \Lambda \setminus \{0\}} \left( \frac{1}{(z-\lambda)^2} - \frac{1}{\lambda^2} \right)$

Mais attention, chaque courbe a une injection qui fixe le pt marqué  $\Rightarrow$  localement  $\mathbb{C}/z/\mathbb{Z}$   
 $z_0 \in \mathbb{C}/\Lambda$   
 $\varphi(z) = z - z_0$   
 (et encore pire si pas générique)

## II) Diagramme de Feynman

Problème : Difficile de construire des classes de cohomologie sur  $M_{g,m}$

### ① Anneau tautologique

Tout ce qu'on peut obtenir à partir de. ⚠ Il faut d'abord compactifier

- la classe fondamentale  $[\bar{M}_{g,m}] \in H^2(\bar{M}_{g,m})$
- $\forall \Gamma$  graphe stable,  $[\bar{M}^\Gamma] \in H^{2e}(\bar{M}_{g,m})$
- $\forall$  fibré en droites  $\mathcal{L} \rightarrow \bar{M}_{g,m}$ ,  $c_1(\mathcal{L}) \in H^2(\bar{M}_{g,m})$
- cup produits, poussés en avant & tirés en arrière le long de gluings  $\Sigma_i$ , fait  $\pi$

C'est bien, mais comment en produire d'autres ? On sait par ailleurs que  $H^4(M_{g,m})$  est beaucoup plus gros que ça !  $\chi(M_g) \gg \beta^g$

alors que  $\dim H_{\text{taut}}(M_g) < \mathbb{C}^{\sqrt{g}}$  car dominé par  $\mathbb{Q}[k_1, k_2, \dots]$  deg  $k_i = 2i$

### ② Première construction de Kontsevich

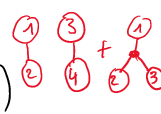
Inspiration : théorie des nœuds et théorie de Chern-Simons

$\omega = \frac{1}{2\pi} (x dy dz + y dz dx + z dx dy)$  forme volume de  $S^2 \subset \mathbb{R}^3 \setminus \{0\}$

$\omega = \frac{1}{2\pi} (x \, dy \, dz + y \, dz \, dx + z \, dx \, dy)$  forme volume de  $S^1 \subset \mathbb{K} \setminus \{0\}$

$L_1, L_2$  courbes orientées  $\Rightarrow$  entrelacement  $\# = \int_{\substack{x \in L_1 \\ y \in L_2}} \omega(x-y)$

Thm  $K: S^1 \hookrightarrow \mathbb{R}^3 \Rightarrow$  invariant  $\int_{0 \leq t_1 < t_2 < t_3 < t_4 < 1} \omega(K(t_1)-K(t_2)) \wedge \omega(K(t_2)-K(t_3)) \wedge \omega(K(t_3)-K(t_4))$   
 $+ \int_{\substack{0 \leq t_1 < t_2 < t_3 < 1 \\ x \in \mathbb{R}^3 \setminus K}} \omega(K(t_1)-x) \wedge \omega(K(t_2)-x) \wedge \omega(K(t_3)-x) - \frac{1}{24}$   
 2<sup>e</sup> coeff du polynôme de Conway de  $K$



## 1) Algèbre $A_\infty$

$V$ : super espace vectoriel:  $V = V_0 \oplus V_1 \pmod{2}$

on note  $\bar{v}$  le degré d'un élément homogène et on pose  $\overline{v \otimes w} = \bar{v} + \bar{w}$

différentielle:  $d: V \rightarrow V$  impaire ( $d(V_0) \subset V_1, d(V_1) \subset V_0$ )  
 $t_q \, d^2 = 0$

on note  $H(V) = \ker(d) / \text{im}(d) = H_0(V) \oplus H_1(V)$

algèbre associative à homotopie près:  $(V, m_1, m_2, \dots)$

où  $m_1: V \rightarrow V$  impaire

$m_2: V \otimes V \rightarrow V$  paire

$m_3: V \otimes V \otimes V \rightarrow V$  impaire

$m_n: V^{\otimes n} \rightarrow V$  paire de  $n$

$t_q, \forall x_1, \dots, x_n \in V_0 \sqcup V_1,$

$$\pm = (-1)^{j(\bar{x}_1 + \dots + \bar{x}_{k-1}) + (j-1)k}$$

$$\sum_{\substack{i+j=n+1 \\ 1 \leq k \leq i}} \pm m_i(x_1, \dots, x_{k-1}, m_j(x_k, \dots, x_{k+j-1}), \dots, x_n) = 0$$

$$\Leftrightarrow \sum \pm \begin{array}{c} \begin{array}{c} k \\ \swarrow \quad \searrow \\ \dots \quad \dots \\ m_j \\ \swarrow \quad \searrow \\ \dots \quad \dots \\ m_i \end{array} \\ \downarrow \\ m_i \end{array} = 0$$

•  $n=1$ :  $m_1 \circ m_1 = 0 \Rightarrow$  différentielle  $m_1 = d$

•  $n=2$ :  $d(m_2(x, y)) = m_2(dx, y) + (-1)^{\bar{x}} m_2(x, dy)$

$\rightarrow$  relation de Leibniz

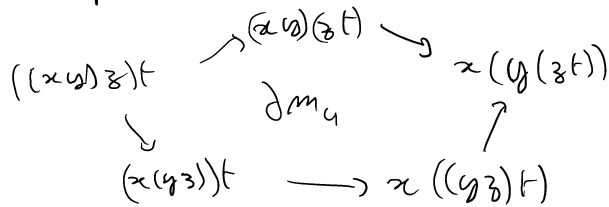
•  $n=3$ :  $m_2(m_2(x, y), z) - m_2(x, m_2(y, z))$

$$= d m_3(x, y, z) + m_3(dx, y, z) + (-1)^{\bar{x}} m_3(x, dy, z) + (-1)^{\bar{x} + \bar{y}} m_3(x, y, dz)$$

$$= d m_3(x, y, z) + m_3(dx, y, z) + (-1)^{\bar{x}} m_3(x, dy, z) + (-1)^{\bar{x}+\bar{y}} m_3(x, y, dz)$$

⇒ en homologie,  $m_2$  est associative

•  $m = 4$  : homotopie entre les 2 manières d'aller de  $((x, y, z)_t)$  à  $x(y(z_t))$



**Produit scalaire**  $\langle -, - \rangle : V \otimes V_{\text{pair}} \rightarrow \mathbb{R}$   $\dim V < \infty$ , non dégén

$\langle m_n(x_1 \dots x_n), x_{n+1} \rangle$  est (anti)symétrique sous l'action des cycles

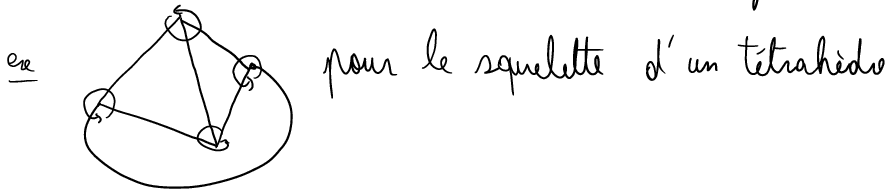
en  $H^*(M)$  non compacte sans bord,  $m_3 = m_4 = \dots$

on peut aussi améliorer pour encoder les produits de Massey (en anneau Koszul)

## ② Graphes rubans - classes caractéristiques

**Graphes rubans** = graphe  $\Gamma = (V, E)$ ,  $E \subset \binom{V}{2}$  (pas d'arêtes doubles ni de boucles)

+ ordre total sur les sommets + ordre cyclique sur  $\mathcal{I}(v) = \text{arêtes incidentes à } v$

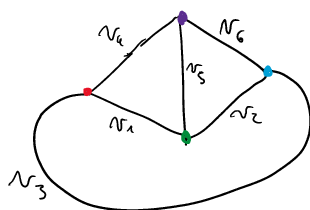


Structure d'algèbre  $A_\infty$  sur  $A$  avec produit scalaire

$$\Rightarrow \mathcal{Z}(\Gamma) = \sum_{\substack{\text{choix de} \\ \text{couleurs} \\ E \rightarrow \text{box } A}} \prod_{v \in V} (\text{coeff autour de } v)$$

$$T_{a_1 \dots a_{n+1}} = \langle m_n(a_1 \dots a_n), a_{n+1} \rangle$$

ex tétraèdre :



un choix de couleurs

$$\Rightarrow \langle N_1 N_4, N_3 \rangle \langle N_2 N_5, N_1 \rangle \langle N_2 N_3, N_6 \rangle \langle N_4 N_5, N_6 \rangle$$

Différentielle sur GC

Thm  $[K] \sum \mathcal{Z}(\Gamma) \Gamma$  est un cocycle

# Différentielle sur GC

Thm  $[K] \sum z(\Gamma) \Gamma$  est un cocycle

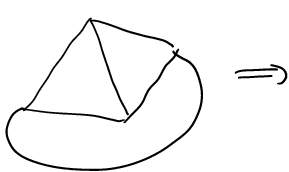
$$\delta(\text{graph with arrow}) = \text{graph with arrow} - \text{graph with arrow}$$

## ③ Lien avec $M_{g,m}$

$R_{g,m}$ : espace de module des graphes ruban  
+ métrique  $(E \rightarrow \mathbb{R}_{>0})$

↳ seul de genre  $g$  &  $m$  composante de bord

en



$$m = 4$$

$$g = 0$$

Thm [Strlebel, Penner 198?]  $R_{g,m} \cong M_{g,m}^{\text{dee}} \cong M_{g,m}$

où  $M_{g,m}$ : espace de module de courbes de genre  $g$   
+ fonction  $f: S \rightarrow \mathbb{R}_{>0}$  qui prend des valeurs  $\neq 0$  en  $m$  points

con  $\Gamma$  graphe ruban  $\Rightarrow$  strate de  $R_{g,m}$  des graphes de type combinatoire  $\Gamma$

$\sum z(\Gamma) \cdot \Gamma$  est une classe là-dessus

en  $V = \mathbb{C}$  en degré 1,  $\langle 1, 1 \rangle = 1$

$$m_k(1, \dots, 1) = \begin{cases} 0 & \text{si } k \text{ est impair} \\ \text{arbitraire} & \text{si } k \text{ est pair} \end{cases}$$

$\Rightarrow$  la classe caractéristique est un polynôme en les classes de Morita - Miller - Mumford